

**Elektrische Eigenschaften**

**Electrical properties**

Höchstzulässige Werte	Maximum rated values		
Periodische Vorwärts- und Rückwärts-Sperrspannung	repetitive peak forward off-state and reverse voltages	$t_{vj} = -40^{\circ}\text{C} \dots t_{vj\text{max}}$	$V_{\text{DRM}}, V_{\text{RRM}}$ 800,1000 V 1100,1200 v 1300* v
Vorwärts-Stoßspitzen-sperrspannung	non repetitive peak forward off-state voltage	$t_{vj} = -40^{\circ}\text{C} \dots t_{vj\text{max}}$	$V_{\text{DSM}} = V_{\text{DRM}}$
Rückwärts-Stoßspitzen-sperrspannung	non repetitive peak reverse voltage	$t_{vj} = +25^{\circ}\text{C} \dots t_{vj\text{max}}$	$V_{\text{RSM}} = V_{\text{RRM}}$ +100 v
Durchlaßstrom-Grenzeffektivwert	RMS on-state current	$t_{\text{C}} = 85^{\circ}\text{C}$	$I_{\text{TRMSM}}$ 700 A
Dauerstrom	average on-state current	$t_{\text{C}} = 62^{\circ}\text{C}$	$I_{\text{TAVM}}$ 318 A 446 A
Stoßstrom-Grenzwert	surge current	$t_{vj} = 25^{\circ}\text{C}, t_p = 10\text{ ms}$ $t_{vj} = t_{vj\text{max}}, t_p = 10\text{ ms}$	$I_{\text{TSM}}$ 6700 A 6000 A
Grenzlastintegral	I <sup>2</sup> t-value	$t_r = 25^{\circ}\text{C}, t_p = 10\text{ ms}$ $t_{vj} = t_{vj\text{max}}, t_p = 10\text{ ms}$	$I^2t$ 224 kA <sup>2</sup> s 180 kA <sup>2</sup> s
Kritische Stromsteilheit	critical rate of rise of on-state current	$V_{\text{D}} \leq 67\%V_{\text{DRM}}, f = 50\text{ Hz}$ $i_{\text{GM}} = 1\text{ A}, di/dt = \text{A}/\mu\text{s}$	$(di/dt)_{\text{cr}}$ 200 A/ $\mu\text{s}$
Kritische Spannungssteilheit	critical rate of rise of off-state voltage	$t_{vj} = t_{vj\text{max}}, V_{\text{D}} = 67\%V_{\text{DRM}}$	$(dv/dt)_{\text{cr}}$ B: 50 50 V/ $\mu\text{s}$ c*: 500 500 V/ $\mu\text{s}$ L: 500 50 V/ $\mu\text{s}$ M*: 1000 500 V/ $\mu\text{s}$

**Charakteristische Werte**

**Characteristic values**

Durchlaßspannung	on-state voltage	$t_{vj} = t_{vj\text{max}}, i_{\text{T}} = 1200\text{ A}$	$V_{\text{T}}$ max. 2,25 V
Schleusenspannung	threshold voltage	$t_{vj} = t_{vj\text{max}}$	$V_{\text{T(TO)}}$ 1,3 v
Ersatzwiderstand	slope resistance	$t_{vj} = t_{vj\text{max}}$	$r_{\text{T}}$ 0,7 m $\Omega$
Zündstrom	gate trigger current	$t_{vj} = 25^{\circ}\text{C}, V_{\text{D}} = 12\text{ V}$	$I_{\text{GT}}$ max. 250 mA
Zündspannung	gate trigger voltage	$t_{vj} = 25^{\circ}\text{C}, V_{\text{D}} = 12\text{ V}$	$V_{\text{GT}}$ max. 2,2 v
Nicht zündender Steuerstrom	gate non-trigger current	$t_{vj} = t_{vj\text{max}}, V_{\text{D}} = 12\text{ V}$	$I_{\text{GD}}$ max. 10 mA
Nicht zündende Steuerspannung	gate non-trigger voltage	$t_{vj} = t_{vj\text{max}}, V_{\text{D}} = 0,5 V_{\text{DRM}}$	$V_{\text{GD}}$ max. 0,25 V
Haltestrom	holding current	$t_{vj} = 25^{\circ}\text{C}, V_{\text{D}} = 12\text{ V}, R_{\text{A}} = 10\ \Omega$	$I_{\text{H}}$ max. 250 mA
Einraststrom	latching current	$t_{vj} = 25^{\circ}\text{C}, V_{\text{D}} = 12\text{ V}, R_{\text{GK}} \geq 10\ \Omega$ $i_{\text{GM}} = 1\text{ A}, di_{\text{G}}/dt = 1\text{ Alpst}_{\text{G}} = 20\text{ ps}$	$I_{\text{L}}$ max. 1 A
Vorwärts- u. Rückwärts-Sperrstrom	forward off-state and reverse Currents	$t_{vj} = t_{vj\text{max}}, V_{\text{D}} = V_{\text{DRM}}, V_{\text{R}} = V_{\text{RRM}}$	$i_{\text{D}}, i_{\text{R}}$ max. 50 mA
Zündverzögerung	gate controlled delay time	$t_{vj} = 25^{\circ}\text{C}, i_{\text{GM}} = 1\text{ A}, di_{\text{G}}/dt = 1\text{ Alps}$	$t_{\text{gd}}$ max. 1,2 $\mu\text{s}$
Freiwerdezeit	circuit commutated turn-off time	siehe TechnErl./see Techn. Inf.	$t_{\text{q}}$ s: max. 18 $\mu\text{s}$ E: max. 20 $\mu\text{s}$ F: max. 25 $\mu\text{s}$

**Thermische Eigenschaften**

**Thermal Properties**

Innerer Wärmewiderstand für beidseitige Kühlung	thermal resistance, junction to case for two-sided cooling	$\Theta = 180^{\circ}\text{ el, sin DC}$	$R_{\text{thJC}}$ max. 0,068 $^{\circ}\text{C}/\text{W}$ max. 0,065 $^{\circ}\text{C}/\text{W}$
für anodenseitige Kühlung	for anode-sided cooling	$\Theta = 180^{\circ}\text{ el, sin DC}$	$R_{\text{thJC(A)}}$ max. 0,113 $^{\circ}\text{C}/\text{W}$ max. 0,11 $^{\circ}\text{C}/\text{W}$
für kathodenseitige Kühlung	for cathode-sided cooling	$\Theta = 180^{\circ}\text{ el, sin DC}$	$R_{\text{thJC(K)}}$ max. 0,159 $^{\circ}\text{C}/\text{W}$ max. 0,156 $^{\circ}\text{C}/\text{W}$
Übergangswärmewiderstand	thermal resistance, case to heatsink	beidseitig/two-sided einseitig/one-sided	$R_{\text{thCK}}$ max. 0,01 $^{\circ}\text{C}/\text{W}$ max. 0,02 $^{\circ}\text{C}/\text{W}$
Höchstzul. Sperrschichttemperatur	max. junction temperature		$t_{vj\text{max}}$ 125 $^{\circ}\text{C}$
Betriebstemperatur	Operating temperature		$t_{\text{c op}}$ -40 ... + 125 $^{\circ}\text{C}$
Lagertemperatur	storage temperature		$t_{\text{stg}}$ -40 ... + 140 $^{\circ}\text{C}$

**Mechanische Eigenschaften**

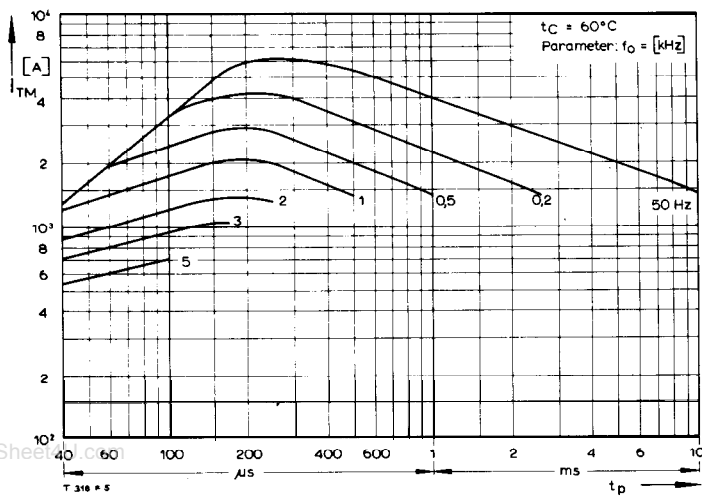
**Mechanical properties**

<b>Si-Element mit Druckkontakt</b>	<b>Si-pellet with pressure contact</b>		
Anpreßkraft	Clamping force		F 5,5... 10 kN
Gewicht	weight		G typ. 110 g
Kriechstrecke	Creepage distance		17 mm
Feuchtklasse	humidity classification	DIN 40040	C
Schwingfestigkeit	Vibration resistance	f = 50 Hz	50 m/s <sup>2</sup>
Maßbild	outline	DIN41814-151A4	Seitelpage 154

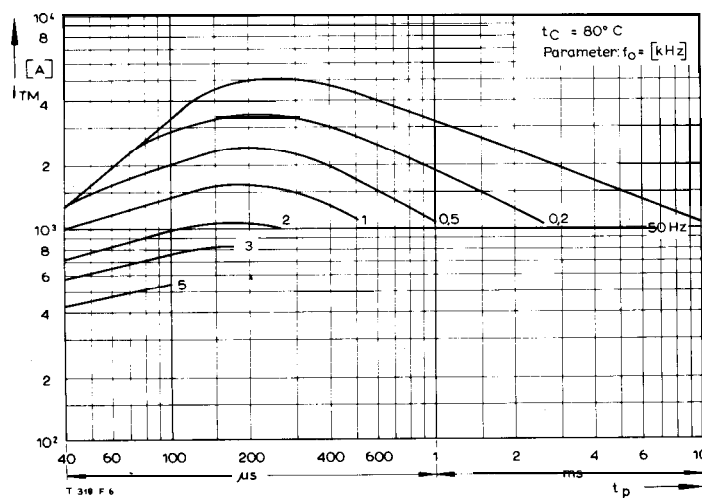
\* Für größere Stückzahlen bitte Liefertermin erfragen/Delivery for larger quantities on request

1) Werte nach DIN IEC 747-6 (ohne vorausgehende Kommutierung)/Values to DIN IEC 747-6 (without prior commutation)

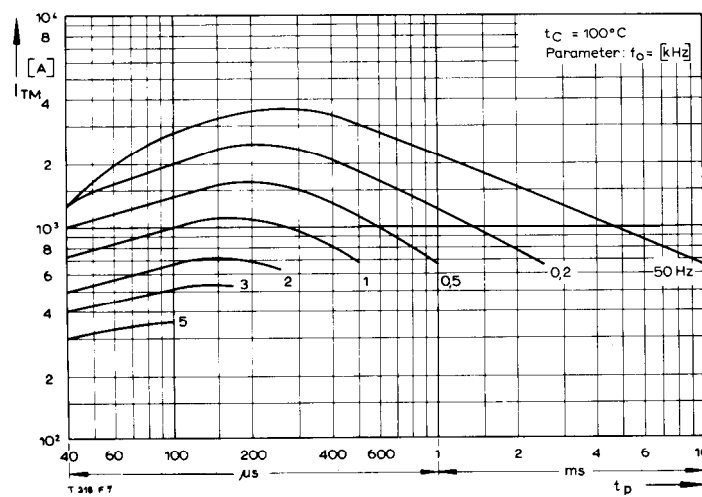
2) Unmittelbar nach der Freiwerdezeit, vgl. Meßbedingungen für  $t_{\text{q}}$ /Immediately after circuit commutated turn-off time, see Parameters  $t_{\text{q}}$



BildFig. 1



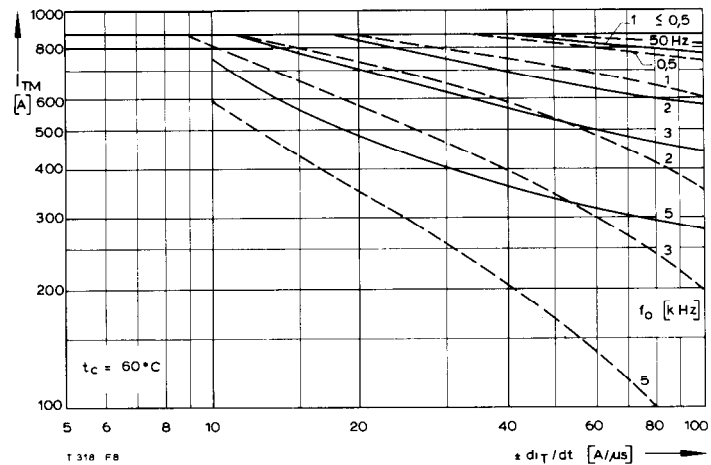
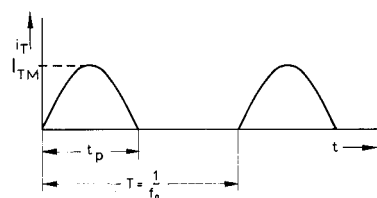
BildFig. 2



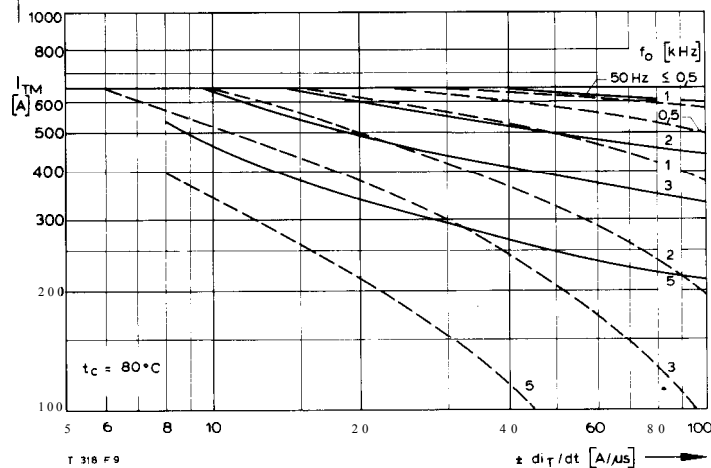
BildFig. 3

BildFig. 1, 2, 3  
 Steuergenerator/pulse generator:  
 $i_G = 1 \text{ A}$ ,  $di_G/dt = 1 \text{ Alps}$

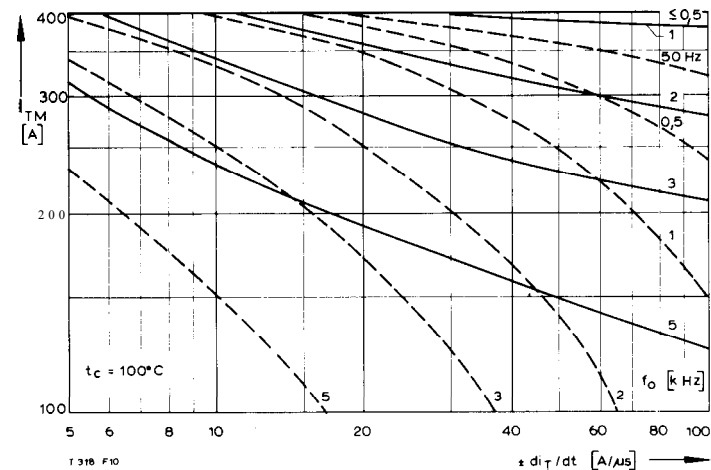
RC-Glied/RC-network:  
 $R [\Omega] \geq 0,02 V_{DM} [V]$   
 $C \leq 0,22 \text{ pF}$   
 $V_{DM} \leq 0,67 V_{DRM}$



BildFig. 4



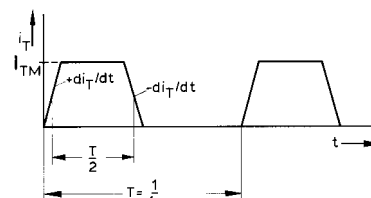
BildFig. 5

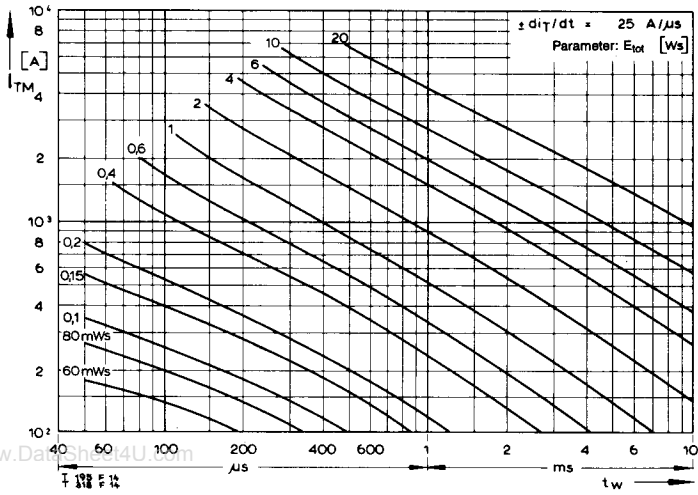


BildFig. 6

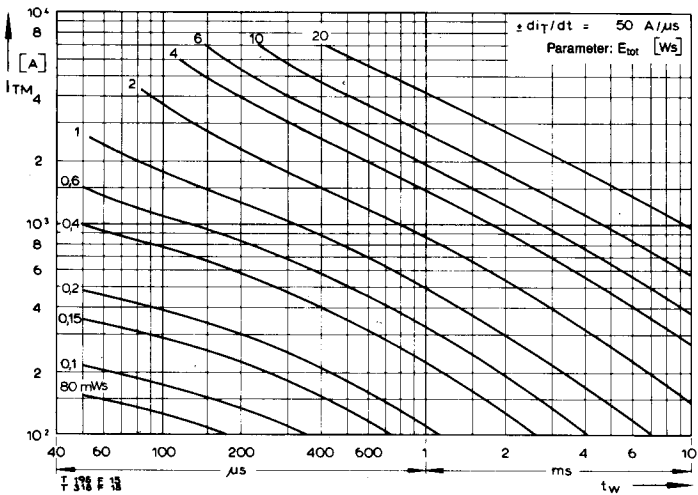
BildFig. 4, 5, 6  
 Steuergenerator/pulse generator:  
 $i_G = 1 \text{ A}$ ,  $di_G/dt = 1 \text{ Alps}$

RC-Glied/RC-network:  
 $R [\Omega] \geq 0,02 V_{DM} [V]$   
 $C \leq 0,33 \text{ pF}$   
 $V_{DM} \leq 0,67 V_{DRM}$   
 $dv_p/dt \leq 600 \text{ V}/\mu\text{s}$   
 $V_{RM} \leq 0,67 V_{RRM}$

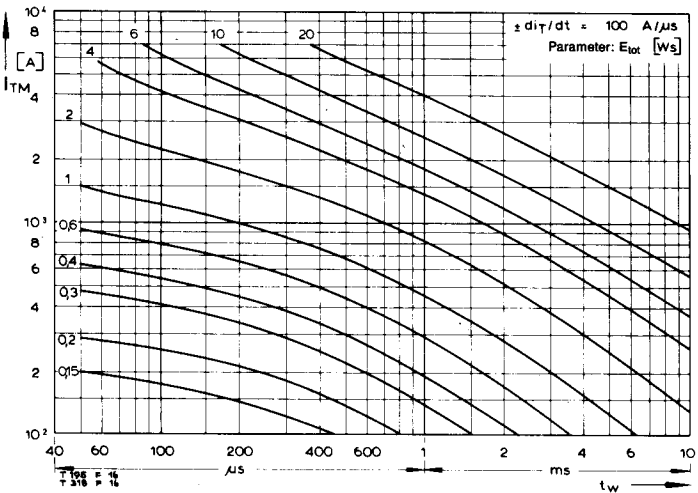




Bild/Fig. 10



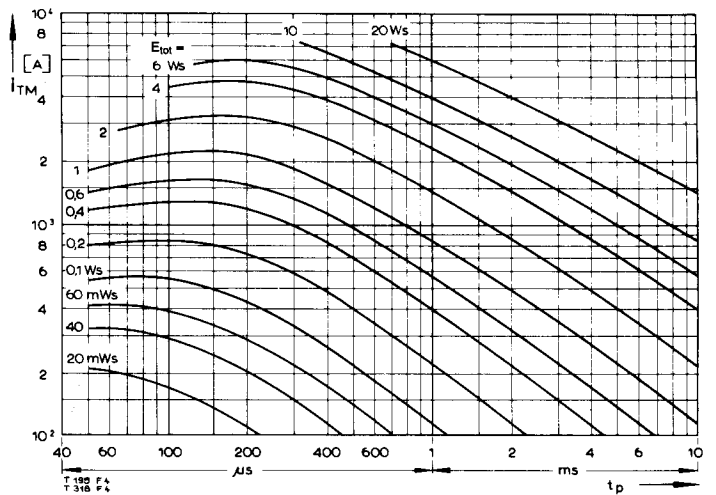
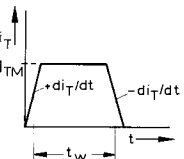
Bild/Fig. 11



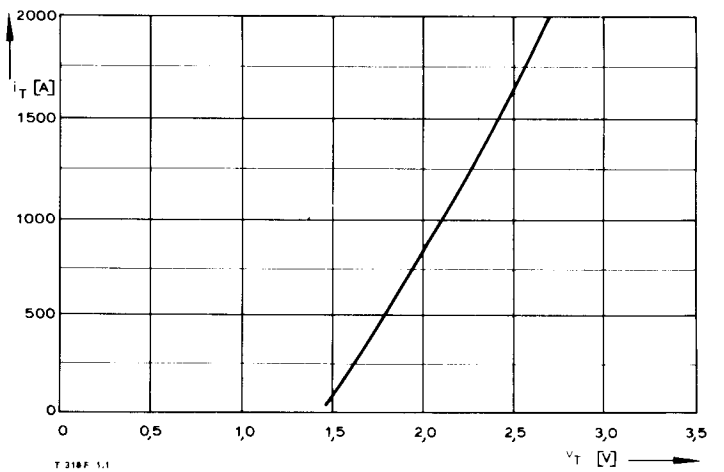
Bild/Fig. 12

Bild/Fig. 10, 11, 12  
Steuer-generator/pulse generator:  
 $i_G = 1 \text{ A}$ ,  $di_G/dt = 1 \text{ A}/\mu\text{s}$

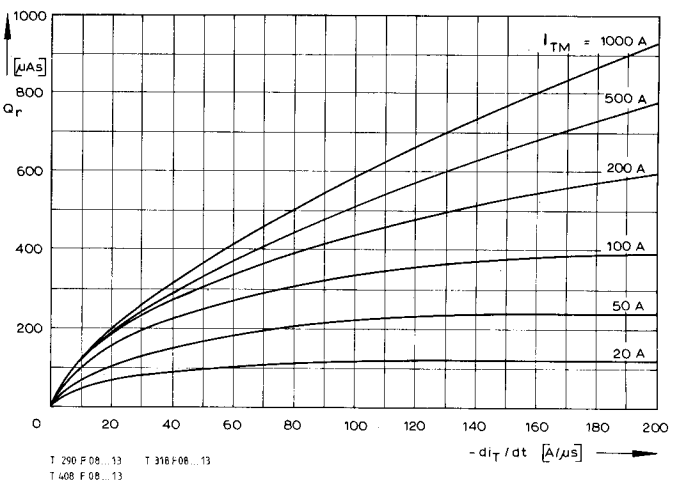
RC-Glied/RC-network:  
 $R [\Omega] \geq 0,02 V_{DM} [V]$   
 $C \leq 0,33 \mu\text{F}$   
 $V_{DM} \leq 0,67 V_{DRM}$   
 $dv_R/dt \leq 600 \text{ V}/\mu\text{s}$   
 $V_{RM} \leq 0,67 V_{RRM}$



Bild/Fig. 13



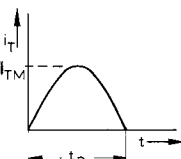
Bild/Fig. 14

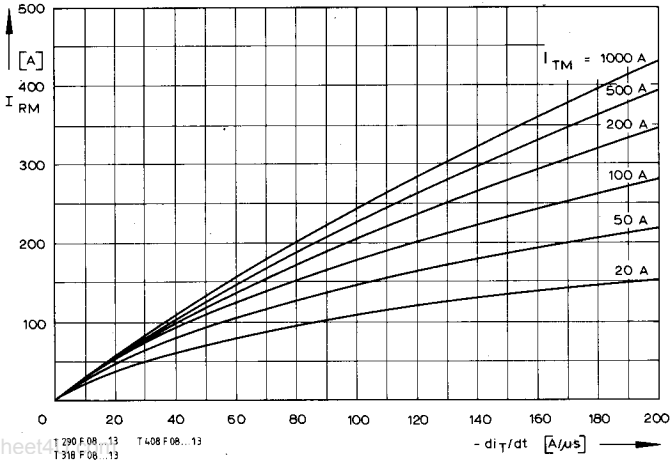


Bild/Fig. 15

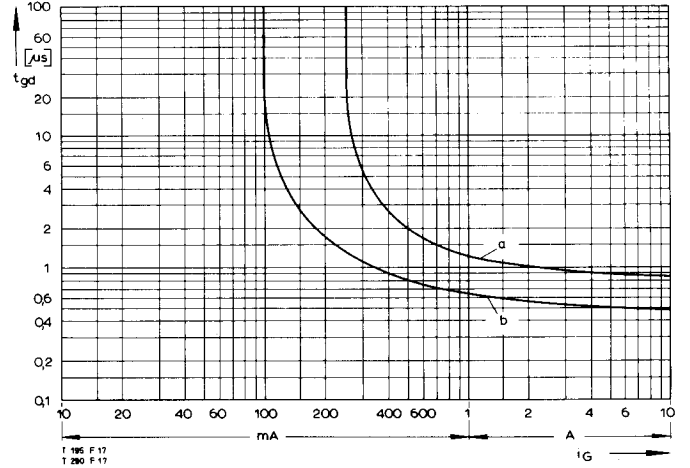
(zu Bild/to Fig. 13)  
Steuer-generator/pulse generator:  
 $i_G = 1 \text{ A}$ ,  $di_G/dt = 1 \text{ A}/\mu\text{s}$

RC-Glied/RC-network:  
 $R [\Omega] \geq 0,02 V_{DM} [V]$   
 $C \leq 0,22 \mu\text{F}$

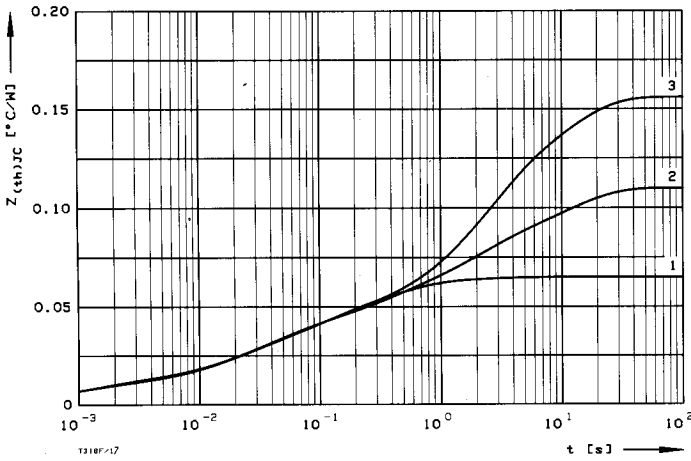




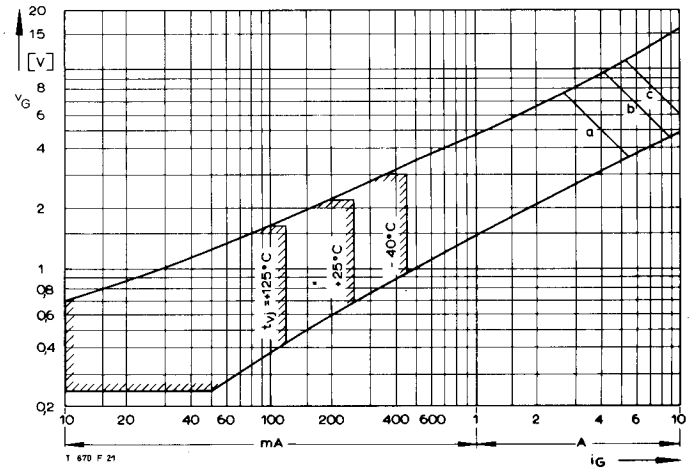
Bild/Fig. 16  
 Rückstromspitze  $I_{RM} = f(-di/dt)$ ,  $t_{vj} = t_{vj(max)}$ ,  $V_R = 0,5 V_{RRM}$ ,  $V_{RM} = 0,8 V_{RRM}$   
 Peak reverse recovery current  $I_{RM} = f(-di/dt)$ ,  $t_{vj} = t_{vj(max)}$ ,  $V_R = 0,5 V_{RRM}$ ,  $V_{RM} = 0,8 V_{RRM}$   
 Parameter: Durchlaßstrom/On-state current  $I_{TM}$



Bild/Fig. 18  
 Zündverzug/Gate controlled delay time  $t_{gd} = f(i_{GM})$ ,  $t_{vj} = 25^\circ\text{C}$ ,  $di_G/dt = i_{GM}/1 \mu\text{s}$   
 a – Maximaler Verlauf/Limiting characteristic  
 b – Typischer Verlauf/Typical characteristic



Bild/Fig. 17  
 Transienter innerer Wärmewiderstand  $Z_{th(JC)} = f(t)$ , DC  
 Transient thermal impedance  $Z_{th(JC)} = f(t)$ , DC  
 1 Beidseitige Kühlung/two-sided cooling  
 2 Anodenseitige Kühlung/anode side cooling  
 3 Kathodenseitige Kühlung/cathode side cooling



Bild/Fig. 19  
 Steuercharakteristik mit Zündbereichen/Gate characteristic with triggering areas  
 $V_G = f(i_G)$ ,  $V_D = 12 \text{ V}$

Parameter:	a	b	c
Steuerimpulsdauer/Trigger pulse duration $t_g$ [ms]	10	1	0,5
Höchstzulässige Spitzensteuerverlustleistung/ Max. rated peak gate power dissipation $P_{GM}$ [W]	20	40	60

Analytische Elemente des transienten Wärmewiderstandes  $Z_{th(JC)}$  für DC  
 Analytical elements of transient thermal impedance  $Z_{th(JC)}$  for DC

Kühlung cooling	Pos. n	1	2	3	4	5	6	7
beidseitig two-sided	$R_{thn}$ [°C/W]	0,00832	0,0151	0,0181	0,0207	0,0286		
	$\tau_n$ [s]	0,000826	0,0166	0,0808	0,359	1,957		
anodenseitig anode-sided	$R_{thn}$ [°C/W]	0,00961	0,00543	0,0209	0,0142	0,0271	0,0328	
	$\tau_n$ [s]	0,00104	0,0133	0,0364	0,23	1,52	10,5	
kathodenseitig cathode-sided	$R_{thn}$ [°C/W]	0,0098	0,0186	0,0157	0,0617	0,0502		
	$\tau_n$ [s]	0,00106	0,0227	0,0994	2,04	10,2		

Analytische Funktion/analytical function:

$$Z_{th(JC)} = \sum_{n=1}^{n_{max}} R_{thn} (1 - \text{EXP}(-t/\tau_n))$$